

УДК 574.55:594.1

**ФОРМА РАКОВИНЫ, РОСТ И ПРОДУКЦИЯ
ASTARTE BOREALIS (SCHUMACHER, 1817) (ASTARTIDAE: BIVALVIA)
В ЮГО-ВОСТОЧНОЙ ЧАСТИ БАЛТИЙСКОГО МОРЯ**

© 2014 г. А. А. Гусев, Л. В. Рудинская

Атлантический научно-исследовательский институт рыбного хозяйства и океанографии, Калининград
e-mail: andgus@rambler.ru

Поступила в редакцию 17.01.2013 г., после доработки 18.03.2013 г.

Изучены связи между линейными и весовыми показателями, соотношение масс, рост и продукция двустворчатого моллюска *Astarte borealis* в юго-восточной части Балтийского моря. Максимальная длина раковины достигала 21.09 мм, возраст – 8+ лет. Линейный рост описывается уравнением Берталанфи $L_t = 35.53(1 - e^{-0.0894(t - (-0.7354))})$. Годовая продукция составила 7.60 кДж/м² при значении P_g/B -коэффициента 0.41. Установлено, что *A. borealis* из юго-восточной Балтики отличаются более низким темпом линейного роста от моллюсков, обитающих в других частях ареала, что связано с низкой соленостью Балтийского моря.

DOI: 10.7868/S0030157414040042

Двустворчатый моллюск *Astarte borealis* (Schumacher, 1817) – обитает в арктических и бореальных водах Северного Ледовитого, Тихого и Атлантического океанов [13, 19, 20, 36]. В Балтике этот вид встречается в глубоководных районах южной части моря: в Слупском желобе, Арконской и Борнхольмской впадинах [16, 21, 27, 35, 36, 37]. О его находке в Готландской впадине упоминается только в работах Ярвекюльга [14, 15]. *A. borealis* имеет относительно высокую энергетическую ценность, благодаря чему имеет важное кормовое значение для рыб глубоководных районов Балтийского моря [34]. Сведения о производственных характеристиках *A. borealis* в Балтийском море в литературе отсутствуют. Между тем, расширение границ “бентической пустыни” в Балтийском море негативно влияет на гидробионтов, обитающих здесь, делая этим изучение производственных свойств морских беспозвоночных весьма актуальным [26]. В данной работе выполнено исследование формы раковины, оценка роста и соматической продукции *A. borealis* по данным однократной выборки из юго-восточной части Балтийского моря. Проведено сравнение полученных оценок с литературными данными по другим поселениям *A. borealis* в Балтике и иных частей видового ареала.

МАТЕРИАЛ И МЕТОДЫ

Материалом послужили моллюски *Astarte borealis* отобранные 16 ноября 2010 г. дночерпателем Ван-Вина, площадь раскрытия 0.1 м² и весом 51 кг, на юго-восточном склоне Готландской котловины в Балтийском море, на участке, ограниченному координатами 55.8223°–55.8238° с.ш., 19.0520°–19.0528° в.д. Пробы промывали через сито с ячеей 0.5 мм и фиксировали 70° этиловым спиртом. Всего был проанализирован 61 экз *A. borealis*. У моллюсков измеряли длину (L, мм), высоту (H, мм) и ширину (D, мм) раковины электронным штангенциркулем “PREISSER DIGI-MET®”, с точностью до 0.01 мм (табл. 1). Сырую массу моллюсков определяли с точностью до 0.001 г: с водой и/или фиксатором в мантиной полости (LWW, г), общую, без воды и/или фиксатора в мантиной полости (TWW, г), которая складывается из массы мягких тканей (SFWW, г) и раковины (SWW, г). После высушивания моллюсков при температуре 60°C в течение 1 суток определяли общую сухую массу (TDW, г): мягких тканей (SFDW, г) и раковины (SDW, г). Связи между линейными и весовыми показателями аппроксимировали уравнениями прямой и простой аллометрии [2]. Возраст особей определяли по годовым кольцам на раковине [1]. Астарты были собраны в ноябре, их конечный возраст идентифицировали как 0+, 1+, 2+ и т.д., поэтому данные ранжировали как 0.5, 1.5, 2.5 и т.д., что приблизительно соответствует 0.5, 1.5, 2.5 и т.д. годам жизни моллюсков. Уравнение Берталанфи использовали в качестве модели линейного роста:

$$L_t = L_\infty(1 - e^{-k(\tau - \tau_0)}), \quad (1)$$

где L_t – длина животного к моменту времени τ , L_∞ – асимптотические линейные размеры, k – константа роста, τ_0 – константа уравнения регрессии.

Численность отдельных возрастных групп моллюсков определяли с учетом того, что выжи-

Таблица 1. Условия среды и характеристика исходного материала

| Параметр | Значение параметра | | |
|---|--|-------|---------------|
| | мин. | макс. | ср. ± SE |
| L, мм | 9.96 | 21.09 | 15.27 ± 0.33 |
| H, мм | 8.05 | 18.15 | 12.45 ± 0.29 |
| D, мм | 3.98 | 8.38 | 6.07 ± 0.12 |
| LWW, г | 0.188 | 1.795 | 0.720 ± 0.046 |
| TWW, г = SWW+SFWW | 0.114 | 1.339 | 0.509 ± 0.034 |
| SWW, г | 0.103 | 1.185 | 0.441 ± 0.030 |
| SFWW, г | 0.011 | 0.185 | 0.068 ± 0.005 |
| TDW, г = SDW+SFDW | 0.107 | 1.186 | 0.444 ± 0.029 |
| SDW, г | 0.102 | 1.155 | 0.430 ± 0.029 |
| SFDW, г | 0.004 | 0.031 | 0.014 ± 0.001 |
| Количество проб | | 8 | |
| Глубина, м | | 95 | |
| Придонная температура, °С | | 4.81 | |
| Содержание кислорода в придонном слое, мг/л | | 1.921 | |
| Придонная соленость, ‰ | | 10.77 | |
| Тип грунта | крупнозернистый песок, гравий, глина, железомарганцевые конкреции | | |
| Возраст, годы | 3+...8+ | | |
| Численность, экз/м ² | 76 ± 22 | | |
| Биомасса (TWW), г/м ² | 38.8 ± 11.1 | | |
| Сопутствующие виды | <i>Scoloplos armiger</i> (O.F. Müller, 1776) <i>Bylgides sarsi</i> (Kinberg in Malmgren, 1865) <i>Halicryptus spinulosus</i> von Siebold, 1849 | | |

ваемость животных может быть описана уравнением экспоненциальной функции [2]:

$$N_{\tau} = A_0(N_0 e^{-\mu \tau}), \quad (2)$$

где N_{τ} – численность моллюсков возраста τ ; N_0 – начальная численность моллюсков; A_0 – доля особей каждой возрастной группы от численности моллюсков первой генерации (N_0); μ – коэффициент смертности. Поскольку в отобранных пробах отсутствовали особи когорты 0, то A_0 было приравнено 1.

Соматическая годовая продукция (P_s) и ее ошибка были рассчитаны по однократной выборке [2, 9]:

$$P_{si} = \sum_{\tau=1}^m \left(\frac{N_{\tau} + N_{\tau-1}}{2} \right) (\bar{W}_{\tau} - \bar{W}_{\tau-1}), \quad (3)$$

где P_{si} – соматическая продукция i возрастной группы (когорты), \bar{W}_{τ} – средняя масса особей в возрасте τ , N_{τ} – численность особей в возрасте τ , m – число возрастных групп. Расчет продукции проводили по общей сырой массе без воды и/или фиксатора в мантийной полости (TWW).

Статистическую обработку данных выполняли в пакете программ MS Excel и Statistica 6.0. Коэффициенты в уравнениях прямой и простой аллометрии, Берталанфи и экспоненциальной функции вычисляли методом корреляционно-регрессионного анализа в пакете программ GraphPad Prism 4.0.

РЕЗУЛЬТАТЫ

Длина раковины и возраст *Astarte borealis* варьировали от 9.96 до 21.09 мм и от 3+ до 8+ лет. Модальный размер у моллюсков был 15.5 мм (рис. 1),

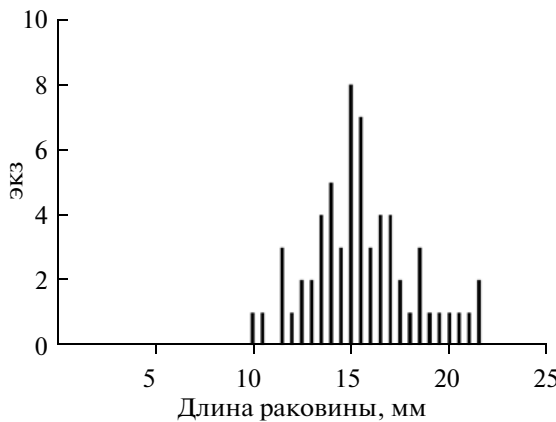


Рис. 1. Размерная структура *Astarte borealis* в юго-восточной части Балтийского моря в ноябре 2010 г.

доминировали особи возраста 5+ (27 ± 8 экз/м²) (рис. 2).

В онтогенезе у *A. borealis* высота раковины по отношению к длине изменяется по принципу положительной аллометрии ($b > 1$), а ширина по принципу отрицательной аллометрии ($b < 1$) (табл. 2). С увеличением длины раковины отношение H/L возрастает, отношение D/H снижается. У моллюсков средних размеров высота раковины в среднем составляет 81.5% от ее высоты, ширина раковины – 39.8% от длины и 48.8% от высоты (табл. 1).

Все значения массы у *A. borealis* по отношению к длине раковины в онтогенезе изменяются по принципу отрицательной аллометрии ($b < 3$) (табл. 2). Доля воды в мантийной полости в среднем составляет 30.28% (табл. 3).

Линейный рост описывается уравнением Берталанфи $L_t = 35.53(1 - e^{-0.0894(\tau - (-0.7354))})$ ($SEL_\infty = 4.58$ мм, $SEk = 0.0167$, $SET_0 = 0.1152$, $r = 0.9694$).

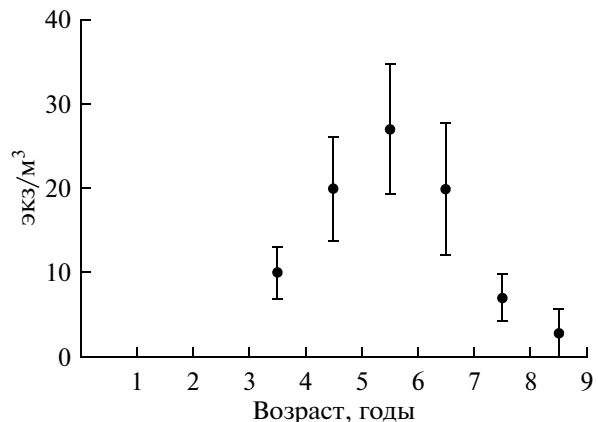


Рис. 2. Средняя численность в возрастных группах *Astarte borealis* в юго-восточной части Балтийского моря в ноябре 2010 г.

Численность моллюсков аппроксимирована уравнением экспоненциальной функции: $N_t = 1(52.17e^{-0.2754\tau})$ ($SEN_0 = 2.79$, $SE\mu = 0.1778$, $r = 0.6125$).

Среднегодовые показатели продуцирования рассчитаны на основе теоретических сведений о линейном размере, общей сырой массе (TWW) и численности моллюсков (табл. 4). Годовая продукция *A. borealis* оценена в 14.11 г/м² или 7.60 кДж/м², средняя биомасса (B_{TWW}) 34.52 г/м², относительная ошибка расчета продукции – 20.7% и P_s/B коэффициент – 0.41.

ОБСУЖДЕНИЕ

Вопрос корректности оценки получаемых величин годовой продукции при расчете ее по одноразовой выборке был рассмотрен ранее [2, 5, 10].

В арктических морях максимальная длина раковины моллюсков достигает 50–55 мм [13, 19],

Таблица 2. Параметры уравнений, описывающие взаимосвязь между линейными характеристиками раковины и массой тела у *Astarte borealis* из юго-восточной части Балтийского моря ($n = 61$ экз)

| Уравнения | Коэффициенты | | $\pm SEa$ | $\pm SEb$ | R^2 |
|---------------------------|--------------|----------|-----------|-----------|--------|
| | a | b | | | |
| $H = aL^b$ | 0.7530 | 1.029 | 0.1003 | 0.0480 | 0.8876 |
| $D = aL^b$ | 0.8117 | 0.7393 | 0.1763 | 0.0788 | 0.6042 |
| $D/H = a + bL$ | 0.6260 | -0.00873 | 0.0418 | 0.00270 | 0.1506 |
| $H/L = a + bL$ | 0.7934 | 0.00141 | 0.0386 | 0.00249 | 0.0054 |
| $LWW (\text{мг}) = aL^b$ | 0.3891 | 2.737 | 0.1569 | 0.1413 | 0.8707 |
| $TWW (\text{мг}) = aL^b$ | 0.1830 | 2.883 | 0.0817 | 0.1560 | 0.8598 |
| $SFWW (\text{мг}) = aL^b$ | 0.0216 | 2.925 | 0.0121 | 0.1950 | 0.8026 |
| $SWW (\text{мг}) = aL^b$ | 0.1616 | 2.876 | 0.0740 | 0.1601 | 0.8528 |
| $TDW (\text{мг}) = aL^b$ | 0.1940 | 2.813 | 0.0873 | 0.1574 | 0.8511 |
| $SFDW (\text{мг}) = aL^b$ | 0.0258 | 2.293 | 0.0125 | 0.1713 | 0.7637 |
| $SWW (\text{мг}) = aL^b$ | 0.1792 | 2.830 | 0.0817 | 0.1594 | 0.8495 |

Таблица 3. Соотношение масс *Astarte borealis*, % (ср. $\pm 95\% \text{CI}$)

| Массы | LWW | TWW | SWW | SFWW | TDW | SDW |
|-------|------------------|------------------|------------------|------------------|------------------|-----------------|
| TWW | 69.72 ± 1.15 | — | — | — | — | — |
| SWW | 60.49 ± 1.08 | 86.76 ± 0.63 | — | — | — | — |
| SFWW | 9.23 ± 0.45 | 13.24 ± 0.63 | 15.36 ± 0.84 | — | — | — |
| TDW | 61.14 ± 1.03 | 87.72 ± 0.69 | — | — | — | — |
| SDW | 59.15 ± 1.04 | 84.85 ± 0.72 | 97.80 ± 0.37 | — | 96.72 ± 0.17 | — |
| SFDW | 1.99 ± 0.09 | 2.87 ± 0.14 | 3.32 ± 0.18 | 22.04 ± 1.17 | 3.28 ± 0.17 | 3.39 ± 0.18 |

20], в Балтийском море изменяется с запада на восток от 38 мм в Кильской бухте [24], 36 мм в Любекской бухте [28], 31.2 мм в Мекленбургской бухте и до 30 мм в водах, примыкающих к побережью Польши [38]. Максимальная длина раковины, полученная нами, оказалась минимальной (21.09 мм) в пределах ареала вида. Это хорошо согласуется с тем, что с понижением солености в Балтийском море уменьшаются размеры у двустворчатых моллюсков морского происхождения, например, *Mya arenaria* Linnaeus, 1758 и др. [6].

Отсутствие особей младших возрастных групп 2+, 1+ и 0+ *A. borealis* возможно вызвано неблагоприятными кислородными условиями (гипоксией) в глубоководных частях Балтики, складывающимися последние годы (табл. 1, рис. 2).

В процессе исследования линейного роста у *A. borealis* установлено, что максимальный линейный размер и параметр k уравнения Берталанфи имели наименьшие значения в юго-восточной части Балтийского моря (табл. 5), а продолжительность жизни была сходной в пределах ареала данного вида [3, 4, 12, 23].

Выявлены статистически значимые различия между теоретическими кривыми роста у *A. borealis* из юго-восточной части Балтийского моря и моллюсками из Чунской губы Восточно-Сибирского моря ($t = 3.51, p = 0.0029$) [4] и с северо-восточного побережья о. Сахалин Охотское море ($t = -4.04, p = 0.0009$) [12] (рис. 3). Не установлено статистически значимых различий между теоретическими кривыми роста у моллюсков из Чунской губы Восточно-Сибирского моря и с северо-восточного побережья о. Сахалин Охотское море ($t = 0.95, p = 0.3539$).

В районах с соленостью воды выше 15‰ сырья масса моллюсков (LWW) по отношению к длине раковины изменялась по принципу положительной аллометрии ($b > 3$) или с сохранением геометрического подобия ($b = 3$) [4, 12, 33]. С проникновением в глубь Балтийского моря и по мере снижения солености это отношение изменялось по принципу отрицательной аллометрии ($b < 3$) (табл. 5) [37].

Во всем ареале *A. borealis* высота раковины изменилась относительно ее длины по принципу положительной аллометрии ($b > 3$) и ширина раковины к длине — по принципу отрицательной аллометрии ($b < 3$) (табл. 5) [12, 33, 37]. В тоже

время у *A. borealis* из юго-восточной Балтики менее выпуклые створки раковины.

Полученное нами значение средней биомассы ($B_{TWW} = 34.52 \text{ г}/\text{м}^2$ или $B_{LWW} = 49.51 \text{ г}/\text{м}^2$) находится на уровне характерном для большей части ареала данного вида, т.е. биомасса (LWW) до $250 \text{ г}/\text{м}^2$ (табл. 3, 5) [3, 7, 8, 11, 16, 21, 22, 25, 29, 35, 37]. Отмечаются участки с высокими биомассами более $500 \text{ г}/\text{м}^2$ [4, 37] и с максимумом $1240 \text{ г}/\text{м}^2$ [18].

На большом объеме материала Риссиарди и Бурже [31] определили коэффициент перехода от общей сухой массы мягких тканей тела (SFDW) к сырой массе с водой и/или фиксатором в мантийной полости (LWW), который равен $8.7 \pm 2.2\%$. На наш взгляд использование данного коэффициента не совсем корректно для всей совокупности двустворчатых моллюсков. Например, у двустворчатых моллюсков обитающих в Балтийском море этот переходный коэффициент ниже: *Mya arenaria* Linnaeus, 1758 — 7.6%, *Macoma balthica* (Linnaeus, 1758) — 6.1–6.5%, *Mytilus edulis* Linnaeus, 1758 — 4.6–5.0%, *Arctica islandica* (Linnaeus, 1767) — 3.3% и *Astarte elliptica* (Brown, 1827) — 2.1% [17, 32, 33]. Однако, полученный нами коэффициент (SFDW/LWW) для *A. borealis* (табл. 3) близок к таковому у *A. elliptica* [33]. Доля сырой массы мягких тканей тела (SFWW) к сырой массе с водой и/или фиксатором в мантийной полости (LWW) укладывается в 9–16%, что характерно для представителей рода *Astarte* [12, 37]. Низкий процент массы мягких тканей тела от общей массы

Таблица 4. Теоретические средние величины линейных размеров (L_τ , мм), общей сырой массы (TWW_τ , г) и численности (N_τ , экз./ м^2) *Astarte borealis* из юго-восточной части Балтийского моря

| Возраст | L_τ | TWW_τ | N_τ |
|---------|----------|------------|----------|
| 0+ | 3.72 | 0.008 | 45.5 |
| 1+ | 6.44 | 0.039 | 34.5 |
| 2+ | 8.93 | 0.101 | 26.2 |
| 3+ | 11.21 | 0.194 | 19.9 |
| 4+ | 13.29 | 0.317 | 15.1 |
| 5+ | 15.19 | 0.467 | 11.5 |
| 6+ | 16.93 | 0.638 | 8.7 |
| 7+ | 18.52 | 0.826 | 6.6 |
| 8+ | 19.98 | 1.028 | 5.0 |

Таблица 5. Продукция, P_s/B -коэффициенты и коэффициенты уравнений Берталанфи, простой аллометрии у *Astarte borealis* в разных частях ареала (песчаный продукций в энергетические единицы (ЭЕ), согласно опубликованным данным 4486 кал/SFDW г, AFDW/SFDW = 83.6% [34], WW/LWW = 69.72%, SFDW/WW = 2.87% (табл. 3), 1 кал = 4.187 Дж [32])

| Район | Уравнение Берталанфи | | | Уравнение простой аллометрии | | | Продукция | | | P_s/B | Источник |
|---|----------------------|--------|----------|------------------------------|---------|--------|---------------------------|---------------------------------------|------|-------------|----------|
| | L_∞ | k | $b(LWW)$ | $b(SFWW)$ | $b(H)$ | $b(D)$ | $WW, \text{г}/\text{м}^2$ | $\mathcal{E}E, \text{кДж}/\text{м}^2$ | | | |
| Бассейн Северного Ледовитого океана | | | | | | | | | | | |
| Чаунская губа, Восточно-Сибирское море | 53.4 | 0.213 | 3.02 | — | — | — | 240.53 | 129.66 | 0.55 | [4] | |
| Южная часть Карского моря | — | — | — | — | — | — | 3.87 | 2.09 | 0.42 | [3] | |
| Юго-восточная часть Баренцева моря | — | — | — | — | — | — | 10.42 | 5.62 | 0.34 | [3] | |
| Бассейн Тихого океана | | | | | | | | | | | |
| Субпогораль северо-восточной части о. Сахалин, Охотское море | 53.1 | 0.4106 | 2.9934 | 3.1504 | 1.0219 | 0.966 | — | — | — | [12] | |
| Бассейн Атлантического океана | | | | | | | | | | | |
| Кильская бухта, западная часть Балтийского моря | — | — | 3.035 | — | — | — | 0.986 | — | — | [33] | |
| Мекленбургская бухта, юго-западная часть Балтийского моря | — | — | 2.92 | 3.07 | 0.8664* | — | — | — | — | [37] | |
| Юго-восточный склон Готландской впадины, юго-восточная часть Балтийского моря | 35.53 | 0.0894 | 2.737 | 2.925 | 1.029 | 0.7393 | 14.11 | 7.60 | 0.41 | Наши данные | |

* Рассчитано по уравнению прямой аллометрии.

можно объяснить наличием толстой и массивной раковины у моллюсков рода *Astarte*, что связано с их предпочтением заселять жесткие гравийно-гальчевые и песчаные грунты [23, 30].

Из выше сказанного следует, что в работе Гагаева [4] принятая им калорийность 360 кал/г сырой массы (что соответствует SFWW/LWW = 8.0%) для двустворчатых моллюсков рода *Astarte* не подходит для расчетов, она завышена почти в 4 раза (89.3 кал/LWW г, что равно 374 Дж/LWW г) (табл. 3, 5). При производственных исследованиях у животных имеющих твердые элементы (например, раковины у моллюсков) необходимо измерять весь возможный набор массы, а не использовать средние характеристики для крупных таксонов (Mollusca, Bivalvia, Gastropoda), которые вносят значительную ошибку в величину продукции, выраженную в джоулях или калориях на 1 м² дна. Если такие средние величины рассчитывать, то на систематическом уровне не выше рода или семейства (например, для семейства Astartidae с небольшим числом родов).

Величина годовой продукции в юго-восточной части Балтийского моря соответствует уровню годовой продукции в Карском и Баренцевом морях [3]. В местах с высокой плотностью поселений годовая продукция достигает значений более 100 кДж/м² (табл. 5) [4].

Значения P_s/B -коэффициента у *A. borealis* находятся в пределах 0.3–0.6 и в среднем составляет 0.43 (табл. 5). Узкий диапазон колебания P_s/B -коэффициента в пределах 0.4–0.6 характерен и для других представителей рода *Astarte* [3, 23].

Как было отмечено ранее у *M. balthica* [5], для *A. borealis* также характерно наличие среднего диапазона вариации продукции на 1 м² дна 2–40 кДж/м², где верхний предел соответствует биомассе (LWW) 250 г/м² [3, 7, 16, 21, 22, 25, 29, 35, 37 и др.]. Годовая продукция достигает максимальных значений до 100–200 кДж/м² в местах с высокой плотностью поселений [4, 18, 37].

Таким образом, у *A. borealis* из юго-восточной Балтики, обитающих в условиях пониженной солености, сохраняются пропорции высоты к длине раковины и максимальный возраст, но раковина имеет менее выпуклую форму, а темп линейного роста заметно меньше, по сравнению с другими частями ареала. Гипоксия негативно влияет на выживание молоди и пополнение популяции *A. borealis*. При всем этом, производственные характеристики *A. borealis* в юго-восточной части Балтийского моря находятся на среднем уровне. P_s/B -коэффициент имеет незначительный размах величин 0.3–0.6, при максимальном возрасте в популяциях 5–10 лет.

Авторы благодарят Р.Н. Буруковского и Е.Н. Науменко за консультации и ценные замечания при написании статьи. Выражаем особую

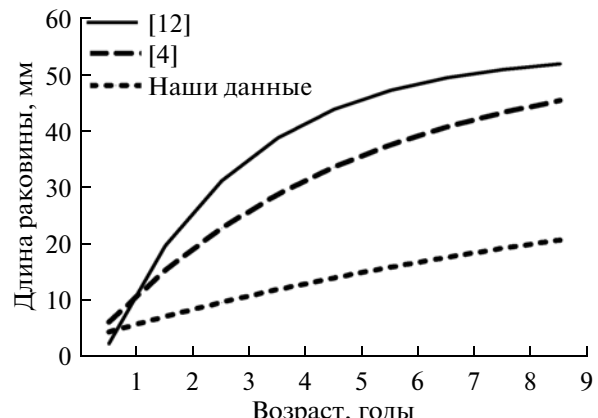


Рис. 3. Теоретические кривые роста *Astarte borealis* для разных частей ареала, вычисленные по уравнению Берталанфи.

признательность рецензентам, чьи замечания помогли улучшить данную рукопись.

СПИСОК ЛИТЕРАТУРЫ

1. Алимов А.Ф., Львова А.А., Макарова Г.Е. и др. Рост и возраст // Методы изучения двустворчатых моллюсков. Л.: Изд-во АН СССР, 1990а. С. 121–140.
2. Алимов А.Ф., Макарова Г.Е., Максимович Н.В. Методы расчета продукции // Методы изучения двустворчатых моллюсков. Л.: Изд-во АН СССР, 1990б. С. 179–195.
3. Антипова Т.В. Продукция популяций некоторых видов двустворчатых моллюсков юго-восточной части Баренцева и южной части Карского морей // Океанология. 1978. Т. 18. Вып. 4. С. 737–741.
4. Гагаев С.Ю. Рост и продукция массовых видов двустворчатых моллюсков Чаунской губы Восточно-Сибирского моря // Океанология. 1989. Т. 29. Вып. 4. С. 658–662.
5. Гусев А.А., Юргенс-Маркина Е.М. Рост и продукция двустворчатого моллюска *Macoma balthica* (Linnaeus, 1758) (Cardiidae: Tellinidae) в юго-восточной части Балтийского моря // Биол. моря. 2012. Т. 38. № 1. С. 57–64.
6. Зенкевич Л.А. Биология морей СССР. М.: Изд-во АН СССР, 1963. 740 с.
7. Козловский В.В., Чичина М.В., Кучерук Н.В. и др. Структура сообществ макрозообентоса юго-западной части Карского моря // Океанология. 2011. Т. 51. № 6. С. 1072–1081.
8. Лебедев Е.Б. Состав фауны сублиторальных двустворчатых моллюсков Дальневосточного морского заповедника (залив Петра Великого, Японское море) // Бюллетень Дальневосточного малакологического общества. 2010. Вып. 14. С. 67–97.
9. Максимович Н.В., Погребов В.В. Анализ количественных гидробиологических материалов. Л.: Изд-во ЛГУ, 1986. 96 с.
10. Максимович Н.В., Герасимова А.В., Кунина Т.А. Продукционные свойства поселений *Macoma balthica* L. в губе Чупа (Белое море). II. Продукция // Вестн. СПбГУ. 1993. Сер. 3. Вып. 1 (№ 3). С. 3–11.
11. Плоткин А.С., Раилкин А.И., Герасимова Е.И. и др. Сообщества подводных скал сублиторали Белого

- моря: структура и взаимодействие с придонным течением // Биол. моря. 2005. Т. 31. № 6. С. 398–405.
12. Селин Н.И. Форма раковины, рост и продолжительность жизни *Astarte arctica* и *A. borealis* (Mollusca: Bivalvia) из сублиторали северо-восточной части острова Сахалин // Биол. моря. 2007. Т. 33. № 4. С. 278–283.
 13. Филатова В.И. Класс Bivalvia (Lamellibranchiata) – двустворчатые моллюски // Определитель фауны и флоры северных морей СССР. М.: Государственное изд-во “Советская наука”, 1948. С. 405–446.
 14. Ярвекюльг А.А. Характеристика зообентоса в восточной части Центральной Балтики – лето 1965 г. // Рыбохозяйственные исследования в бассейне Балтийского моря. Рига: Авест, 1970. Вып. 5. С. 16–42.
 15. Ярвекюльг А.А. Донная фауна восточной части Балтийского моря. Таллинн: Валгус, 1979. 236 с.
 16. Andersin A.-B., Lassing J., Sandler H. Community structure of soft-bottom macrofauna in different parts of the Baltic // Biology of benthic organisms: 11th European Symposium on Marine Biology, Galway, October 1976 / Eds. Keegan B.F. et al. Oxford-New York-Toronto-Sydney-Paris-Frankfurt: Pergamon Press, 1977. P. 7–20.
 17. Ankar S., Elmgren R. The benthic macro- and meiofauna of the Askö-Landsort Area (Northern Baltic proper) // Contribution from the Askö Laboratory. 1976. № 11. 115 p.
 18. Arntz W.E. Brunswig D., Sarnthein M. Zonierung von Mollusken und Schill im Rinnensystem der Kieler Bucht (westliche Ostsee) // Senckenberg. Marit. 1976. V. 8. № 4–6. P. 189–269.
 19. Barnes R.S.K. The brackish-water of northwestern Europe. Cambridge: Cambridge University Press, 1994. 304 p.
 20. Bernard F.R. Bivalve mollusks of the western Beaufort Sea // Contributions in Science. Natural History Museum of Los Angeles County. 1979. № 313. 80 p.
 21. Demel K., Mulicki Z. Quantitative investigations on the biological bottom productivity of the South Baltic // Prace Mor. Inst. Ryb. Gdynia. 1954. Ser. A. № 7. P. 75–126.
 22. Denisenko S.G., Denisenko N.V., Lehtonen K.K. et al. Macrozoobenthos of the Pechora Sea (SE Barents Sea): community structure and spatial distribution in relation to environmental conditions // Mar. Ecol. Prog. Ser. 2003. V. 258. P. 109–123.
 23. Hermsen J.M., Collie J.S., Valentine P.C. Mobile fishing gear reduces benthic megafaunal production on Georges Bank // Mar. Ecol. Prog. Ser. 2003. V. 260. P. 97–108.
 24. Jaeckel S. Zur Ökologie der Molluskenfauna in der westlichen Ostsee // Schr. Naturwiss. Ver. Schleswig-Holstein. 1952. Bd. 26. H. 1. S. 18–30.
 25. Jørgensen L.L., Pearson T.H., Anisimova N.A. et al. Environmental influences on benthic fauna associations of the Kara Sea (Arctic Russia) // Polar Biol. 1999. V. 22. № 6. P. 395–416.
 26. Läne A., Kraav E., Titova G. UNEP. Global International Waters Assessment. Baltic Sea (GIWA Regional assessment no. 17). Kalmar: University of Kalmar, 2005. 88 p.
 27. Laine A.O. Distribution of soft-bottom macrofauna in the deep open Baltic Sea in relation to environmental variability // Est. Coast. Shelf Sci. 2003. V. 57. № 1–2. P. 87–97.
 28. Lenz H. Die wirbellosen Thiere der Tarvemünder Bucht. Teil II. // Ber. Comm. Wiss. Unters. Deutsch. Meere Kiel für die Jahre 1877 bis 1881 (7.–11. Jahrgang, I. Abtheilung). 1882. Bd. 4. S. 169–180.
 29. Löwe F.-K. Quantitative Benthosuntersuchungen in der Arkonasee // Mitt. Zool. Mus. Berlin. 1963. V. 39. № 2. S. 247–349.
 30. Perna J., Schwinghamer P., Rowell T.W. et al. Experimental otter trawling on a sandy bottom ecosystem of the Grand Banks of Newfoundland: analysis of trawl bycatch and effects on epifauna // Mar. Ecol. Prog. Ser. 1999. V. 181. P. 107–124.
 31. Ricciardi A., Bourget E. Weight-to-weight conversion factors for marine benthic macroinvertebrates // Mar. Ecol. Prog. Ser. 1998. V. 163. P. 245–251.
 32. Rumohr H., Brey Th., Ankar S. A compilation of biometric conversion factors for benthic invertebrates of the Baltic Sea // The Baltic Marine Biologists. 1987. № 9. 56 p.
 33. Schaefer R., Trutschler K., Rumohr H. Biometric studies on the bivalves *Astarte elliptica*, *A. borealis* and *A. montagui* in Kiel Bay (Western Baltic Sea) // Helgoländer Meeresunters. 1985. V. 39. № 3. P. 245–253.
 34. Wacasey J.W., Atkinson E.G. Energy values of marine benthic invertebrates from the Canadian Arctic // Mar. Ecol. Prog. Ser. 1987. V. 39. P. 243–250.
 35. Warzocha J. Classification and structure of macrofaunal communities in the Southern Baltic // Arch. Fish. Mar. Res. 1995. V. 42. № 3. P. 225–237.
 36. Zettler M.L. Recent geographical distribution of the *Astarte borealis* species complex, its nomenclature and bibliography (Bivalvia: Astartidae) // Schr. Malakozoolog. 2001. V. 18. P. 1–14.
 37. Zettler M.L. Ecological and morphological features of the bivalve *Astarte borealis* (Schumacher, 1817) in the Baltic Sea near its geographical range // J. Shellfish Res. 2002. V. 21. № 1. P. 33–40.
 38. Zmudzinski L. Macrofauna atlas of the Baltic Sea. Warszawa: Wydawnictwa Szkolno i Pedagogiczne, 1990. 196 p.

Shell Form, Growth and Production of *Astarte borealis* (Schumacher, 1817) (Astartidae: Bivalvia) in the Southeastern Baltic Sea

A. A. Gusev, L. V. Rudinskaya

We studied the relationships between linear and weight indices, the mass ratio, the growth and production of *Astarte borealis* in the southeastern part of the Baltic Sea. The maximum shell length of *A. borealis* was up to 21.09 mm, the maximum age was 8+ years. The linear growth is described by the Bertalanffy growth equation: $L_t = 35.53(1 - e^{-0.0894(\tau - (-0.7354))})$. The annual production of *A. borealis* was 7.60 kJ/m²; the *P_s/B* ratio was 0.41. The linear growth of *A. borealis* from the southeastern Baltic have lower rate compared with the boreal astarte species in other parts of the region, due to the low salinity of the Baltic Sea.